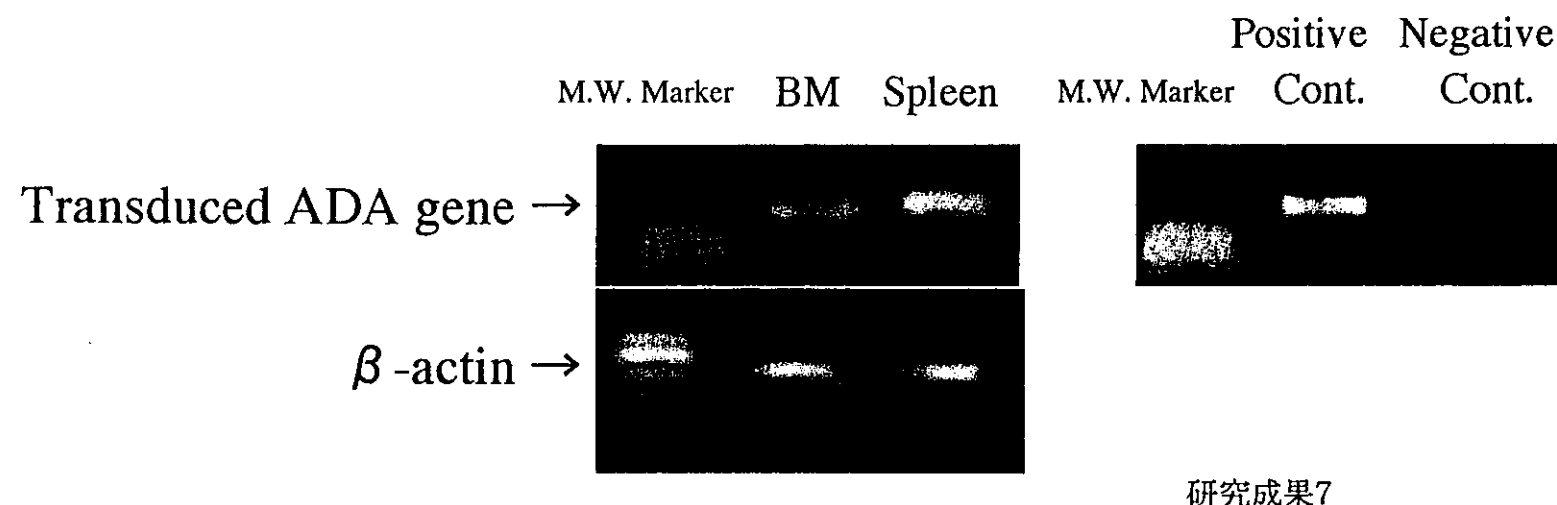


NOD/SCIDへの遺伝子導入臍帯血CD34陽性細胞移植実験
導入遺伝子の検出



研究成果7

研究成果 7

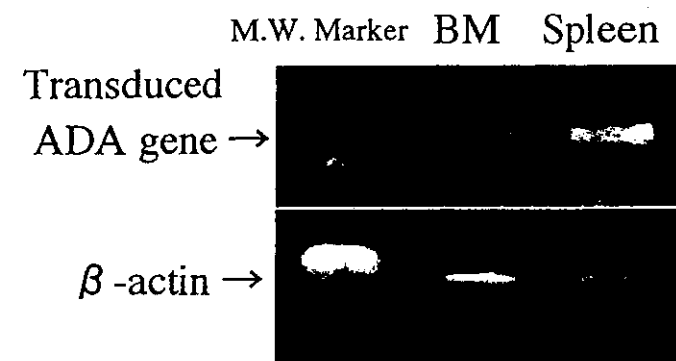
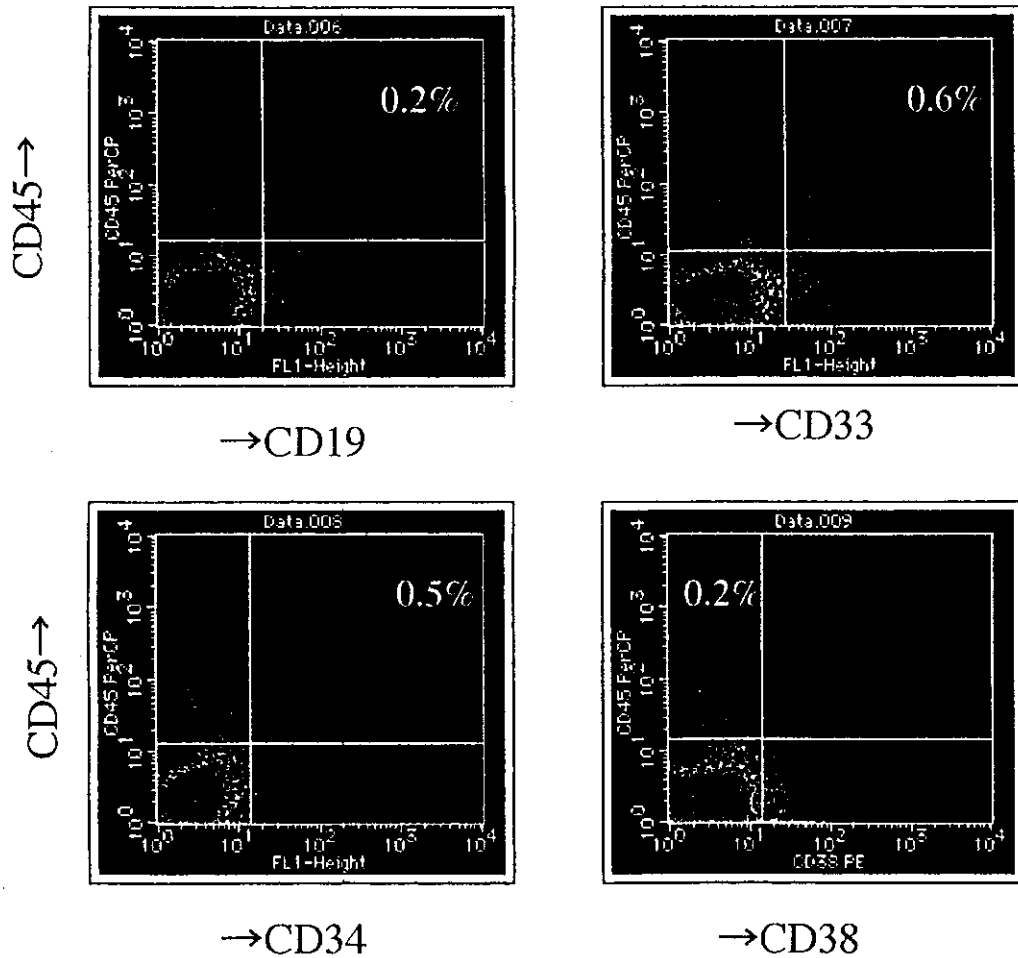
NOD/SCID マウスへの遺伝子導入臍帯血 CD34 陽性細胞の移植実験 ；導入遺伝子の検出

研究成果 6 で検討した NOD/SCID マウス骨髓、脾臓細胞から DNA を抽出し、ベクターにて導入した ADAcDNA を PCR 法にて検出した。コントロールの遺伝子として β -actin を用いた。

骨髓(BM)、脾臓(Spleen)由来のサンプルの結果を左に示す。

骨髓、脾臓それぞれの細胞から導入遺伝子が検出された。

NOD/SCIDマウスへの遺伝子導入患児骨髄CD34陽性細胞の移植実験



骨 髓

研究成果 8

NOD/SCID マウスへの遺伝子導入患児骨髓血 CD34 陽性細胞の移植実験

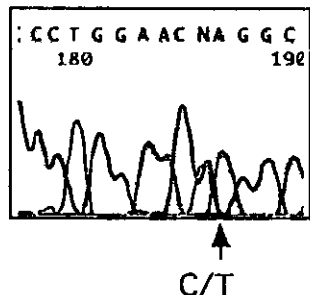
研究成果 6, 7 同様に症例 1 からの骨髓血を用いて遺伝子を導入・NOD/SCID マウスへ移植後、FACS 解析と導入遺伝子の検出を試みた。

左は FACS の結果、右に導入遺伝子検出の結果を示す。

患者由来の遺伝子導入骨髓血 CD34 陽性細胞でも研究成果 6, 7 同様に移植した遺伝子導入後の血液幹細胞がマウスの体内で、いくつかのリネージュのヒト細胞に分化したことが示された。またマウス骨髓・脾臓細胞に導入遺伝子が検出された。

症例2の変異解析

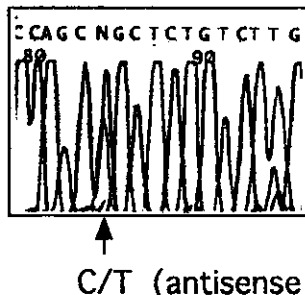
Mutation #1 (paternal origin) in exon 4



Gln 119 → stop

creates Bfa I recognition site (CTAG)

Mutation #2 (maternal origin) in exon 8

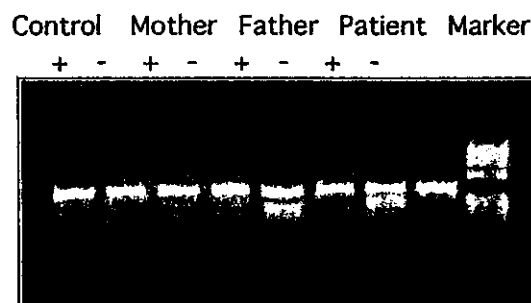


Arg 235 → Gln

creates Pvu II recognition site (CAGCTG)

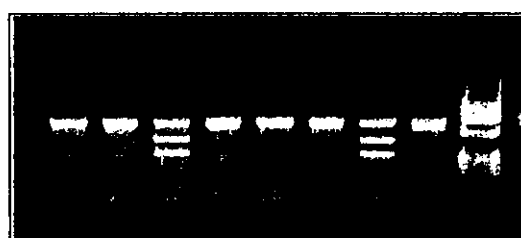
Bfa I digestion

Fragment exon 4



Pvu II digestion

Fragment exon 7-9



研究成果 9

症例 2 の変異解析

上部；それぞれの ADA 遺伝子のアリルの変異解析（変異を矢印で示す）

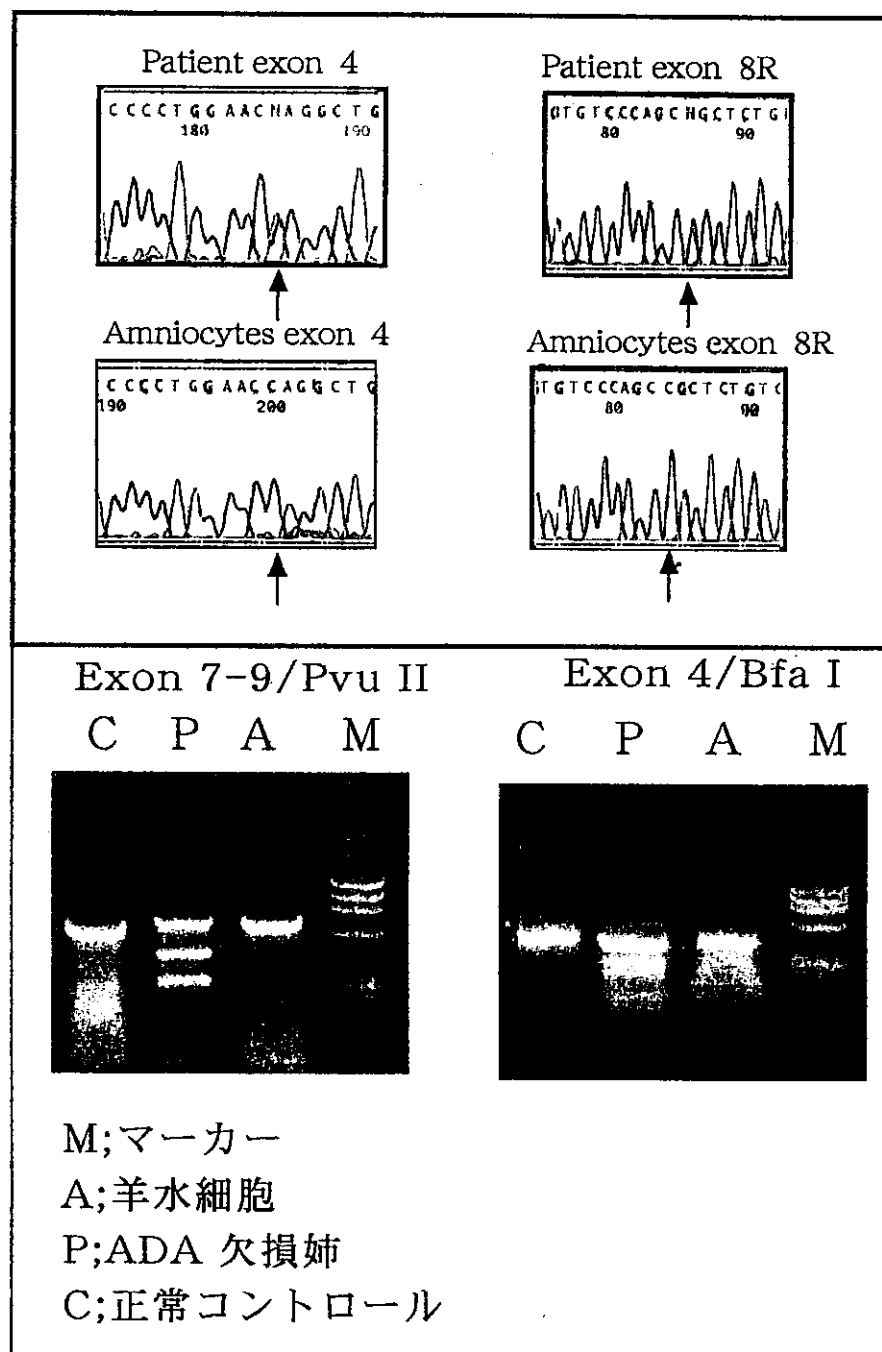
ADA 遺伝子をいくつかのフラグメントに分割・増幅して塩基配列を検索し、変異を同定した。

父由来の変異を上段(Glu119→stop)、母由来の変異(Arg235→Glu)を下段に示す。

下部；制限酵素による ADA 遺伝子変異の確認

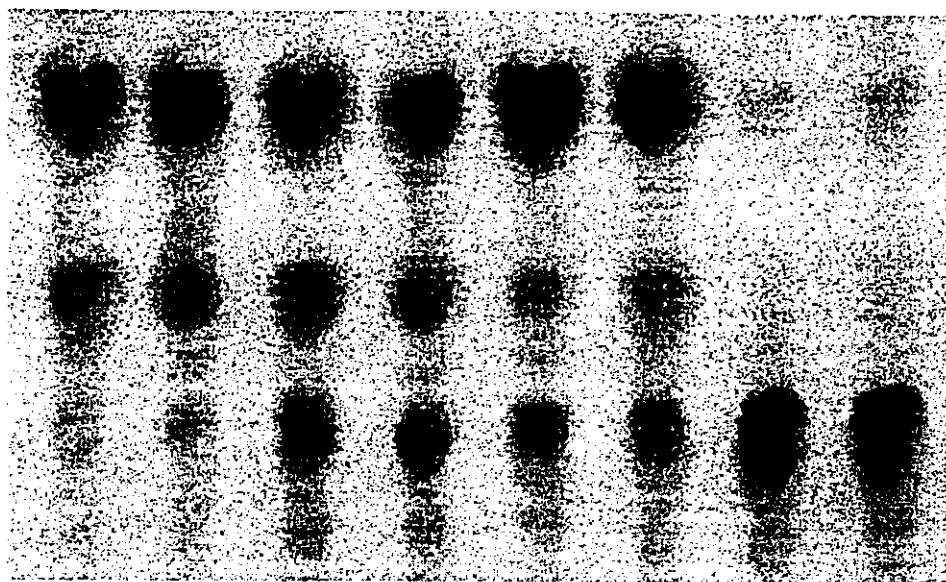
それぞれの変異により制限酵素(Bfa I と Pvu II)認識部位が生じ、簡便に変異が確認可能であった。それぞれの変異が両親から由来したことが示された。酵素処理の有無を + と - で示した。

症例2同胞の出生前診断-遺伝子解析



研究成果 10-A

症例2同胞の出生前診断 -ADA活性の解析



羊水細胞 Hela細胞 EBLCL back ground

ADA活性(U)	
症例 2 同胞胎児羊水細胞1	323.54
症例 2 同胞胎児羊水細胞2	321.68
Hela細胞1	228.93
Hela細胞2	256.28
正常者 EB LCL1	276.39
正常者 EB LCL2	283.74

研究成果 10-B

研究成果 10

出生前診断の同意の後、妊娠中の母から羊水細胞を採取し、
遺伝子解析(A)、ADA活性(B)を検討した。

10-A；

上部；ADA遺伝子アリルの変異解析

上段の症例2に認める変異は下段の羊水細胞（同胞胎児由来）には認めなかった（矢印）。

下部；制限酵素による確認

レーンはそれぞれ、コントロール(C)、症例2(P)、羊水細胞(A)、分子量マーカー(M)を示す。症例2のみに異常バンドを認めた。

10-B；ADA活性の解析

上段；薄層クロマトグラフィーの展開像

¹⁴C-ADAを用いた薄層クロマトグラフィーにて羊水細胞のADA活性を測定した。それぞれのスポットの放射線量を定量し、ADA活性を算定した。

下段；ADA活性値

羊水細胞は正常細胞に匹敵する酵素活性を示した。